



БИООРГАНИЧЕСКАЯ ХИМИЯ

том 12 * №10 * 1986

УДК 577.175.853'17.012.6:577.322.5:543.422.25

ИНТЕРПРЕТАЦИЯ СПЕКТРОВ ^1H -ЯМР ЦИКЛИЧЕСКОГО АНАЛОГА КАЛЛИДИНА В РАСТВОРАХ

Саулитис Ю. Б., Лиепиньш Э. Э., Мутулис Ф. К., Чипенс Г. И.

Институт органического синтеза Академии наук ЛатвССР, Рига

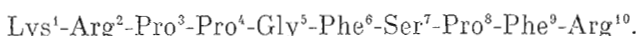
Совместным анализом двумерных COSY- и NOESY-спектров выполнено отнесение сигналов в спектрах ^1H -ЯМР [цикло(10 \rightarrow 1 \circ)]каллидина (цикло-КЛ) в растворе $(\text{CD}_3)_2\text{SO}$ и H_2O . В растворе $(\text{CD}_3)_2\text{SO}$ присутствуют медленно обменивающиеся конформеры цикло-КЛ I, цикло-КЛ II, цикло-КЛ III, содержание которых 25, 35, 40%.

Конформер цикло-КЛ I характеризуется *транс*-конфигурацией всех пептидных связей, а цикло-КЛ II и цикло-КЛ III имеют *цик*-конфигурации пептидных связей $\text{Pro}^3\text{-Pro}^4$ и $\text{Arg}^2\text{-Pro}^3$ соответственно.

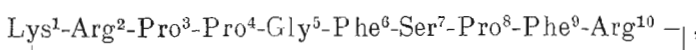
Показано, что в растворе $(\text{CD}_3)_2\text{SO}$ происходит следующий обмен между конформерами: цикло-КЛ II \rightleftharpoons цикло-КЛ I \rightleftharpoons цикло-КЛ III. Методом титрования диметилсульфоксидом сделано отнесение сигналов ^1H -ЯМР всех трех конформеров цикло-КЛ в H_2O , где их содержание составляет 45, 25, 30%.

Пространственные структуры молекулы пептидного биорегулятора брадикинина и его природных аналогов из класса кининов в растворе привлекают внимание многих исследователей [1, 2]. Это вызвано важной ролью кининов в локальной регуляции биохимических и физиологических реакций организма [2].

По биологической значимости брадикинину не уступает другой представитель класса кининов — лизил-брадикинин, или каллидин, с аминокислотной последовательностью [1]



Экспериментальные исследования пространственной структуры каллидина в растворе до сих пор, по-видимому, не проводились. Недавно в Институте органического синтеза АН ЛатвССР синтезирован циклический аналог каллидина [цикло(10 \rightarrow 1 \circ)]каллидин (цикло-КЛ)



обладающий высокой, более специфичной по сравнению с брадикинином биологической активностью [3]. Конформационная подвижность цикло-КЛ ограничена вследствие циклизации молекулы. Это обстоятельство в связи с биологической активностью цикло-КЛ определяет интерес к его пространственной структуре в растворе. Поэтому мы начали изучение методами двумерной (2D) спектроскопии ^1H -ЯМР пространственной структуры цикло-КЛ в растворах $(\text{CD}_3)_2\text{SO}$ и H_2O . В настоящей работе представлен первый этап этого исследования — отнесение сигналов протонов и описание *цик*-*транс*-изомеризации связей Xaa-Pro.

Отнесение сигналов ЯМР протонов цикло-КЛ началось с анализа спектра, коррелированного по скалярному спин-спиновому взаимодействию COSY-спектра, т. е. с выделением спиновых систем протонов, соответствующих отдельным аминокислотным остаткам. В COSY-спектрах декапептида цикло-КЛ наблюдается 30 таких систем. Наличие трех наборов различных по интенсивности сигналов протонов указывает на существование в шкале времени ЯМР трех конформеров. После полного анализа COSY-спектров цикло-КЛ выделены спиновые системы протонов, соответствующие трем остаткам Lys, шести — Arg, девяти — Pro, трем — Gly, трем — Ser, шести — Phe (рис. 1).

δ , м.д.

7,5

8,5

R¹⁰_{III}

R¹⁰_{II}

R¹⁰_I

S⁷_I

F⁹_{II}

D_{III}

S⁷_{II}

S⁷_{III}

F⁶_{II}

F⁶_{III}

F⁶_I

R²_{III}

R²_{II}

R²_I

F⁹_I

F⁹_{III}

D_{II}

F⁶_{II}

F⁶_{III}

F⁶_I

R²_{II}

R²_{III}

R¹⁰_{II}

R¹⁰_I

G⁵_{III}

G⁵_{II}

G⁵_I

G⁵_{II}

G⁵_I

G⁵_{II}

G⁵_I

K¹_{III} ε
D

K¹_{II} ε
D

R_ε
G⁵_{III}

D

K¹_I ε

3,5

δ , м.д.

4,5

Рис. 1. Область COSY-спектра: δ_1 7,3–9,0 м.д., δ_2 2,9–4,8 м.д. Кросс-пики указывают на КССВ между протонами NH – C^aH, C^aH – N^bH, C^aH – N^cH. Здесь и далее используется однобуквенный код для обозначения аминокислотных остатков (K – Lys, R – Arg, P – Pro, F – Phe, S – Ser, G – Gly), а нижние индексы I–III указывают изомер цикло-КЛ I, цикло-КЛ II, цикло-КЛ III

Далее для отнесения сигналов к определенному положению аминокислотных остатков в первичной структуре цикло-КЛ использовали NOESY-спектры. Отнесение начиналось анализом $d_{\alpha N}$, d_{NN} - и d_{BN} -связей [4], отвечающих ядерному эффекту Оверхаузера (ЯЭО) между протонами NH данного остатка и протонами C^aH, NH и C^aH предыдущего остатка. По $d_{\alpha N}$ - и d_{NN} -связям (рис. 2, 3) для каждого из трех конформеров выделены три фрагмента: Lys¹-Arg², Pro⁴-Gly⁵-Phe⁶-Ser⁷ и Pro⁸-Phe⁹-Arg¹⁰. Однако отсутствие протонов NH в остатках пролина препятствует окончательному отнесению.

Естественно предположить, что наличие конформеров в спектрах ЯМР вызвано *цикло-транс*-изомеризацией цикло-КЛ по пептидным связям Хаа-Pro. Это предположение удалось обосновать при анализе NOESY-спектров. Для выделения сигналов, соответствующих отдельным конформерам, пами

δ_1 , м.д.

3,0

4,0

8,5

7,5

δ_2 , м.д.

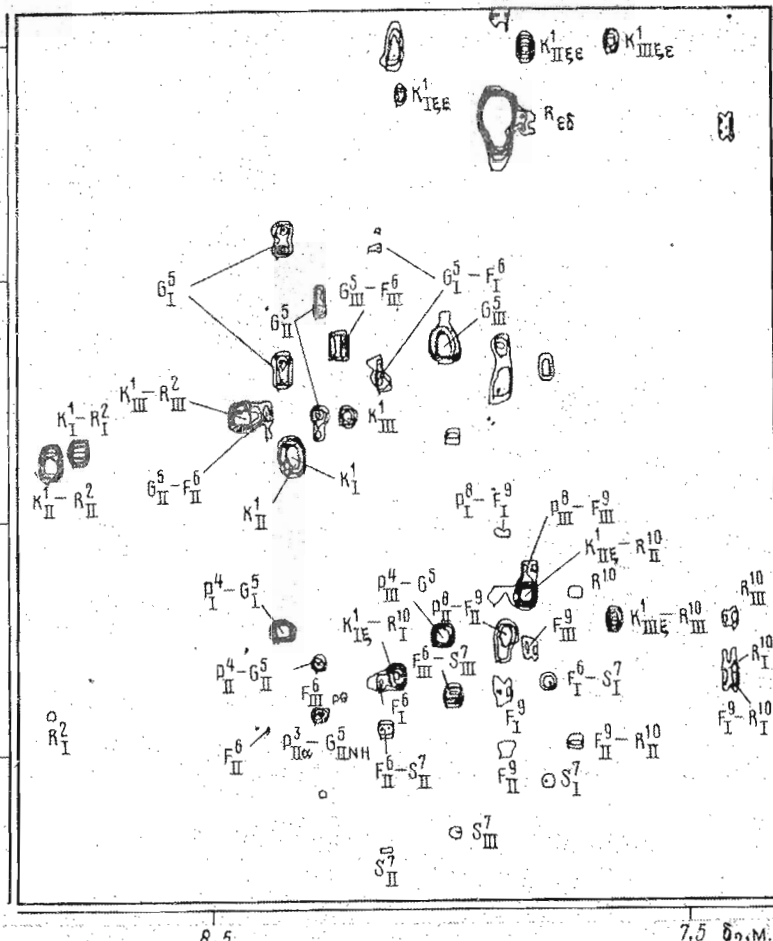


Рис. 2. Область фазоизбирательного NOESY-спектра: δ_1 2,9–4,8 м.д., δ_2 7,3–8,9 м.д., $\tau_m=0,3$ с, 303 К. Здесь и далее в NOESY-спектрах представлены контуры отрицательных уровней. Показаны $d_{\alpha N}$ -связи и ЯЭО между протонами NH – C^αH аминокислотного остатка

использованы обменные кросс-ピーки, соответствующие реакции *cis-trans*-изомеризации.

В NOESY-спектре (рис. 3) при времени обмена компонент намагнитенности $\tau_m=0,3$ с и 303 К наблюдаются обменные кросс-ピーки между сигналами протонов двух изомеров, которые условно обозначены цикло-КЛ I и цикло-КЛ II. При данных условиях обменные кросс-ピーки между сигналами протонов третьего изомера цикло-КЛ III и сигналами цикло-КЛ I или цикло-КЛ II отсутствуют, а наблюдаемые кросс-ピーки по интенсивности трудно отличимы от кросс-ピーков ЯЭО. Для точного отнесения обменных кросс-ピーков получен NOESY-спектр 323 К ($\tau_m=0,3$ с).

При повышении температуры обменные кросс-ピーки в NOESY-спектре становятся более интенсивными (рис. 4) вследствие увеличения скорости обмена, а интенсивность кросс-ピーков ЯЭО падает из-за уменьшения времени корреляции молекулярного движения τ_c . Таким образом, при 323 К удалось четко выделить обменные кросс-ピーки. Далее, контролируя изменение химических сдвигов протонов от температуры съемкой COSY-спектров, осуществили отнесение сигналов всех протонов в цикло-КЛ III при 303 К (табл. 1).

Наличие в NOESY-спектре ЯЭО между протонами C^αH Arg² – C^αH Pro³ (рис. 5) указывает на *cis*-конфигурации пептидной связи Arg²-Pro³, а ЯЭО между C^αH Pro³ – C^βH Pro⁴ и C^αH Ser⁷ – C^βH Pro⁸ – на *trans*-кон-

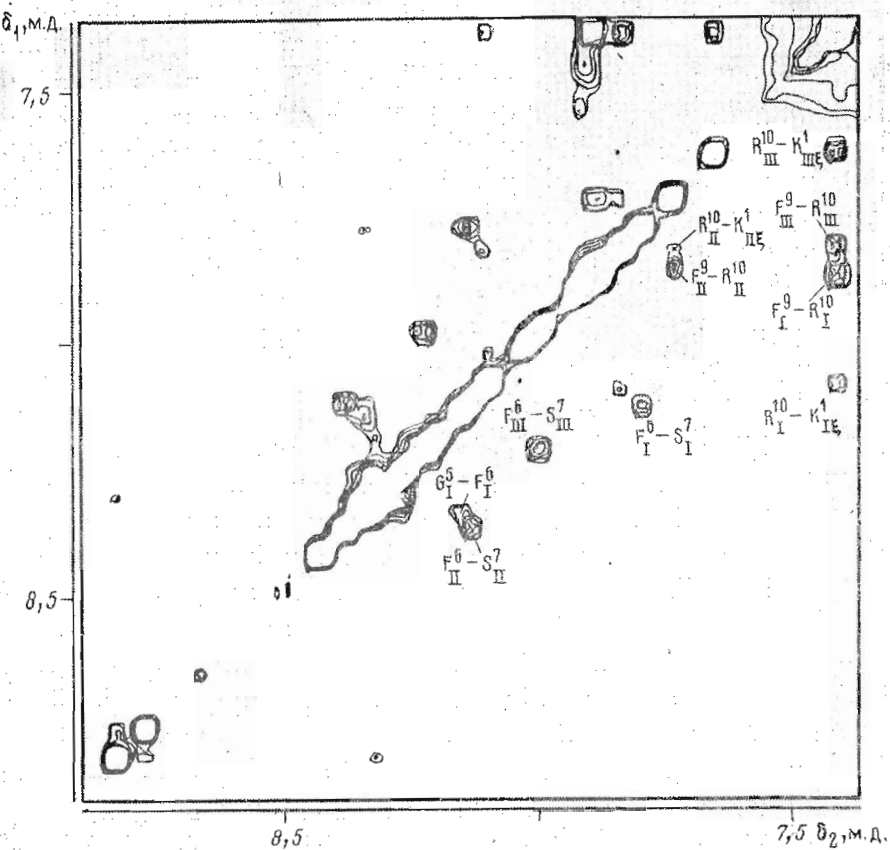


Рис. 3. Область фазоизбирательного NOESY-спектра: δ_1 , δ_2 7,3–8,9 м.д., $\tau_{\text{m}}=0,3$ с, 303 К. Показаны отпесения d_{NN} -связей, включая участие протонов $\text{N}^{\text{t}}\text{H Lys}^1$ (отмечены индексом g)

фигурацию пептидных связей Pro³-Pro⁴ и Ser⁷-Pro⁸. Следовательно, изомер цикло-КЛ III характеризуется *цик*-конфигурацией связи Arg²-Pro³, а остальные пептидные связи имеют *транс*-конфигурацию. В NOESY-спектре (рис. 5) цикло-КЛ наблюдаются три ЯЭО между протонами, не принадлежащими к соседним по аминокислотной последовательности остаткам C^αH Pro⁴ – C^αH Pro⁸, C^αH Arg² – C^αH Pro⁸ и C^αH Pro³ – NH Gly⁵. Эти сигналы нельзя отнести к кросс-пикам, соответствующим *цик*-*транс*-переходам Xaa-Pro. Они не могут соответствовать также межмолекулярным ЯЭО, связанным с ассоциацией пептидных молекул. Об этом свидетельствует изучение концентрационной зависимости спектров ЯМР, поскольку изменение концентрации (от 0,12 до 0,005 М) не меняло значения химических сдвигов сигналов. Эти ЯЭО позволяют объединить группы сигналов протонов, относящихся к изомерам цикло-КЛ I и цикло-КЛ II. ЯЭО между протонами C^αH Pro⁴ – C^αH Pro⁸ позволяет объединить сигналы протонов в аминокислотной последовательности фрагмента Pro⁴ – Arg¹⁰ одного изомера (предположим, что это цикло-КЛ I). Далее ЯЭО между протонами C^αH Arg² – C^αH Pro⁸ позволяет отнести сигналы протонов аминокислотных остатков Lys¹-Arg² и фрагмента Pro⁴-Arg¹⁰ ко второму изомеру – цикло-КЛ II, а оставшиеся сигналы протонов остатков Lys¹-Arg² – к изомеру цикло-КЛ I.

Для изомера цикло-КЛ II наблюдается ЯЭО между протонами $\text{C}^{\alpha}\text{H}$ $\text{Pro}^3 - \text{C}^{\alpha}\text{H}$ Pro^4 , наличие которого одновременно позволяет различить сигналы протонов $\text{C}^{\alpha}\text{H}$ остатка Pro^3 в изомерах цикло-КЛ I, цикло-КЛ II и свидетельствует о *цис*-конфигурации пептидной связи $\text{Pro}^3\text{-Pro}^4$ в цикло-КЛ II.

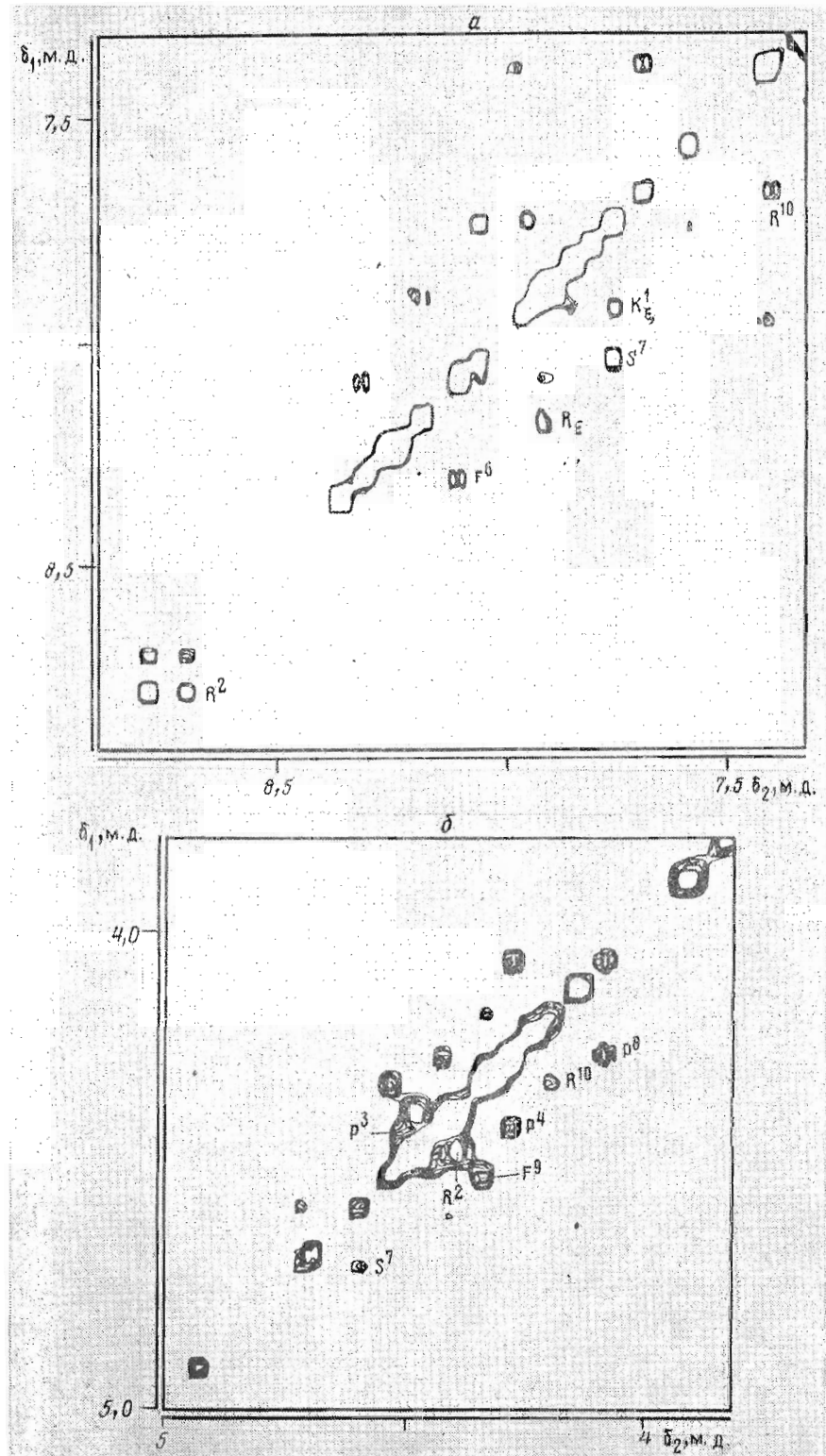


Рис. 4. Области фазоизбирательного NOESY-спектра: $\alpha - \delta_1, \delta_2$ 7,3–8,9 м.д., $\beta - \delta_1, \delta_2$ 3,8–5,0 м.д., $\tau_m = 0,3$ с, 323 К. Показаны оттеснения обменных кросс-пиков между сигналами NH (α) и C α H (β) протонов изомеров цикло-КЛ I и цикло-КЛ II

Таблица 1

Параметры спектров ^1H -ЯМР цикло-КЛ III в $(\text{CD}_3)_2\text{SO}$ и H_2O при 303 К

Аминокислотный остаток	δ , м. д.								$\Delta\delta_{\text{NH}}/\Delta T \cdot 10^4$, м. д./К	$\gamma_{\text{HNC}^{\alpha}\text{H}, \mu_{\text{II}}}$ $(\text{CD}_3)_2\text{SO}$		
	NH		C^αH		C^{β}H		Другие протоны					
	$(\text{CD}_3)_2\text{SO}$	H_2O	$(\text{CD}_3)_2\text{SO}$	H_2O	$(\text{CD}_3)_2\text{SO}$	H_2O	$(\text{CD}_3)_2\text{SO}$	H_2O				
Lys ¹	<i>a</i>		3,77	3,71	1,64	2,07	$\text{C}^{\alpha}\text{H}$ 2,97; 2,97 $\text{N}^{\ddagger}\text{H}$ 7,75	$\text{C}^{\alpha}\text{H}$ 3,18; 3,18 $\text{N}^{\ddagger}\text{H}$ 7,75	4,4 ^g	4,8 ^g		
Arg ²	8,43	8,11	4,27	4,22	1,46 1,46	1,72 1,72			2,8	6,7	8,8	
Pro ³			4,93	4,89	2,32	2,47						
Pro ⁴			4,24	4,38	2,11	2,06	$\text{C}^{\alpha}\text{H}$ 1,71; 1,62					
Gly ⁵	8,01	8,10	3,63 3,63	3,81 3,81			C^{β}H 3,74; 3,51		3,2	4,8		
Phe ⁶	8,23	8,17	4,37	4,60	3,08 2,70	3,14 2,95			2,4	4,7	8,8	
Ser ⁷	7,98	7,90	4,66	4,68	3,83 3,64	4,01 3,69	OH 5,87		4,6	5,5	6,8	
Pro ⁸			4,10	4,10	1,96	1,92	$\text{C}^{\alpha}\text{H}$ 1,70; 1,70					
Phe ⁹	7,83	7,73	4,27	4,53	3,18 2,90	3,14 3,02	C^{β}H 3,76; 3,57		4,6	5,0	7,8	
Arg ¹⁰	7,39	7,70	4,21	4,31	1,62 1,62	1,71 1,71			0,9	4,3	8,8	

Здесь и в следующих таблицах:

^a Сигналы протонов $\alpha\text{-NH}_2$ остатка Lys¹ не удалось наблюдать из-за сильного уширения вследствие быстрого обмена с протонами остаточной H_2O в $(\text{CD}_3)_2\text{SO}$.^b Не указанные сигналы протонов боковых цепей не удалось однозначно отнести из-за перекрывания сигналов протонов в COSY-спектрах.^c Температурные коэффициенты $\text{N}^{\ddagger}\text{H}$ -протонов остатка Lys¹.^d Химические сдвиги сигналов протонов C^{β}H и $\text{N}^{\ddagger}\text{H}$ остатков Arg во всех изомерах мало отличаются и имеют значения $\sim 3,18$ и $\sim 7,18$ м. д.

Отнесение сигналов протонов остатка Pro³ подтверждается также наличием ЯЭО между протонами $\text{C}^{\alpha}\text{H}$ Pro³ — NH Gly⁵ в изомере цикло-КЛ II (рис. 2). Остальные пептидные связи Хаа-Pro в обоих изомерах имеют транс-конфигурацию; на это указывают ЯЭО между протонами $\text{C}^{\alpha}\text{H}$ Pro³ — $\text{C}^{\alpha}\text{H}$ Pro⁴ в изомере цикло-КЛ I и ЯЭО $\text{C}^{\alpha}\text{H}$ Arg² — $\text{C}^{\alpha}\text{H}$ Pro³, $\text{C}^{\alpha}\text{H}$ Ser⁷ — $\text{C}^{\alpha}\text{H}$ Pro⁸ в обоих изомерах. Эти ЯЭО позволили выявить также сигналы соответствующих протонов C^{β}H Pro, а затем из COSY-спектров и сигналы протонов C^{β}H Pro (табл. 1—3).

Таким образом, анализ NOESY-спектров позволил провести отнесение сигналов протонов в изомерах цикло-КЛ I и цикло-КЛ II (табл. 2, 3). Обменные кросс-линии в NOESY-спектрах свидетельствуют о конформационных переходах между этими изомерами. Из NOESY-спектров, полученных при разных температурах по интенсивностям обменных кросс-линий, можно оценить константу скорости обмена аналогично, как это сделано в работе [5], а далее из уравнения Эйринга вычислить свободную энергию активации ΔG_{τ}^* для процесса обмена. Для цис-транс-изомеризации связи Pro³-Pro⁴ в цикло-КЛ величина $\Delta G_{303\text{ K}}^*$ составляет 73,2 кДж/моль·К.

Естественно предположить, что между сигналами протонов изомеров цикло-КЛ I и цикло-КЛ III также должны наблюдаться обменные кросс-

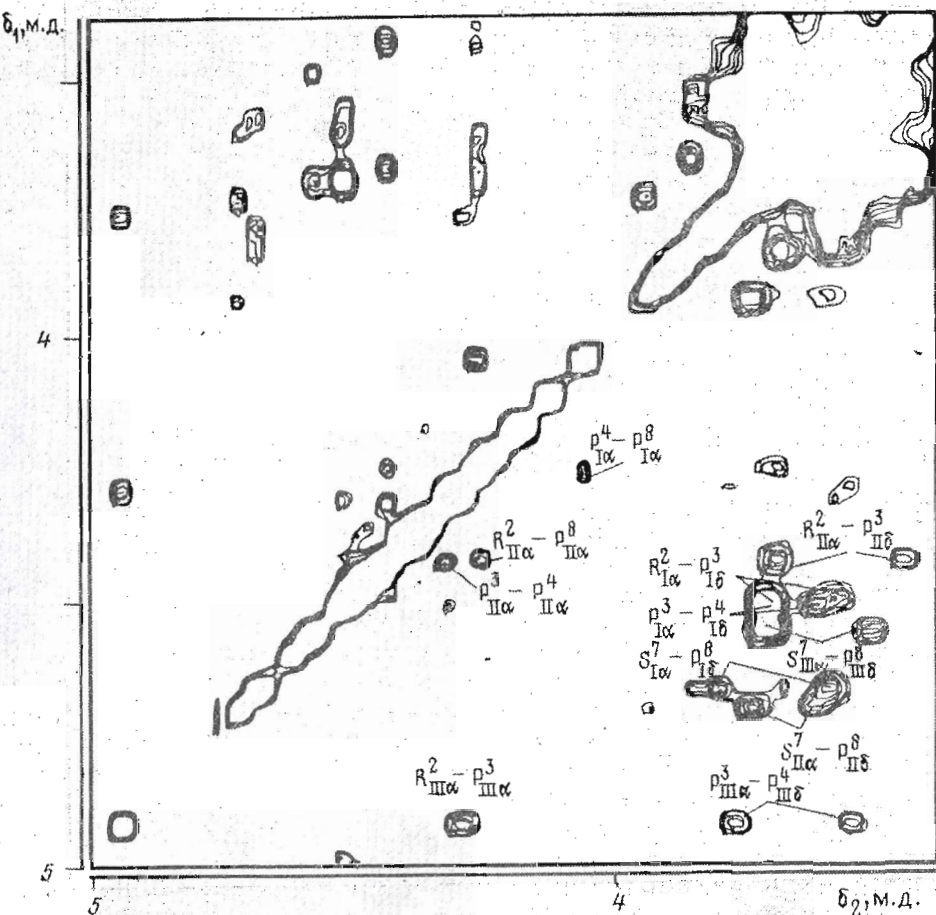


Рис. 5. Область фазоизбирательного NOESY-спектра: δ_1 , δ_2 3,3–5,0 м.д., $\tau_m=0,3$ с, 303 К. Показаны ЯЭО между протонами $C^\alpha H$ Xaa – $C^\alpha H$ Pro и $C^\alpha H$ Xaa – $C^\beta H$ Pro, указывающие на цис-транс-конфигурацию пептидных связей Xaa-Pro, а также между протонами $C^\alpha H$, не принадлежащими соседним по аминокислотной последовательности остаткам

пики, поскольку должна происходить цис-транс-изомеризация по пептидной связи Arg²-Pro³. Однако в NOESY-спектрах (рис. 4) при 323К и $\tau_m=-0,3$ с не наблюдаются обменные кросс-пики, соответствующие этому процессу, что может быть объяснено более высокой энергией активации ΔG_{\ddagger} и, следовательно, более низкой константой скорости. Константу скорости обмена можно увеличить, повысив температуру. Действительно, в NOESY-спектре при 353К (рис. 6) наблюдаются интенсивные обменные кросс-пики между сигналами NH протонов остатков Arg² изомеров цикло-КЛ I и цикло-КЛ III. Наличие переходов между этими конформерами удалось показать также классическим методом переноса насыщения, который полезен для наблюдения медленного в шкале времени ЯМР обмена. При насыщении сигнала NH-протонов остатка Arg² изомера цикло-КЛ III наблюдалось изменение интенсивности сигнала протонов Arg² изомера цикло-КЛ I (рис. 7). Эти результаты доказывают существование обмена между изомерами цикло-КЛ I и цикло-КЛ III. Величина $\Delta G_{353K}^{\ddagger}$, оцененная по интенсивности обменных кросс-пиков, составляет $\sim 81,6$ кДж/моль·К. По интегральным интенсивностям в одномерных ¹H-ЯМР-спектрах цикло-КЛ оценено содержание изомеров цикло-КЛ I 25%, цикло-КЛ II 35% и цикло-КЛ III 40%.

Таким образом, в растворе (CD_3)₂SO показано наличие трех цис-транс-изомеров, обменивающихся между собой следующим образом:

Таблица 2

Параметры спектров ^1H -ЯМР цикло-КЛ I в $(\text{CD}_3)_2\text{SO}$ и H_2O (рН 3,95) при 303 К

Аминокислотный остаток	δ , м. д.										$\Delta\delta_{\text{NH}}/\Delta T \cdot 10^3$, м. д./К	$J_{\text{H}_2\text{O}^{\text{C}\beta\text{H}}}^{\text{C}\alpha\text{H}}$, Гц		
	NH		C α H		C β H		Другие протоны		$(\text{CD}_3)_2\text{SO}$	H_2O				
	$(\text{CD}_3)_2\text{SO}$	H_2O	$(\text{CD}_3)_2\text{SO}$	H_2O	$(\text{CD}_3)_2\text{SO}$	H_2O	$(\text{CD}_3)_2\text{SO}$	H_2O						
Lys ¹	α		3,85	3,79	1,69;	1,98	C δ H 1,38; 1,38	C ϵ H 3,21	5,1	5,0				
					1,69	1,98	C δ H 2,97; 2,97	N δ H 7,96						
Arg ²	8,77	8,69	4,51	4,58	1,61; 1,61	1,76 1,76	N δ H 8,10 δ, ε	C δ H 3,18 N δ H 7,17	3,2	5,7	6,8			
Pro ³			4,50	4,63	2,22;	2,39	C γ H 1,86; 1,86							
					1,87	1,92	C δ H 3,68; 3,54							
Pro ⁴			4,23	4,23	2,04;	2,15	C γ H 1,83; 1,83							
					1,72	1,70	C δ H 3,68; 3,58							
Gly ⁵	8,33	8,42	3,66 3,42	3,90 3,70					5,2	4,7	6,8 4,9			
Phe ⁶	8,14	8,11	4,36	4,57	3,14; 2,89	3,18 3,04			2,9	5,3	8,8			
Ser ⁷	7,78	7,78	4,56	4,69	3,67; 3,67	3,90 3,69	OH 5,57		3,1	5,2	6,8			
Pro ⁸			4,02	4,01	1,90;	1,85	C γ H 1,86; 1,85							
					1,18	1,23	C δ H 3,68; 3,47							
Phe ⁹	7,88	7,69	4,39	4,60	2,97; 2,83	3,18 2,94			4,4	4,7	8,9			
Arg ¹⁰	7,40	7,65	4,35	4,29	1,72; 1,72	1,48 1,48			4,2	2,7	8,8			

^{a,b,c,e,g} См. табл. 1.

цикло-КЛ II \rightleftharpoons цикло-КЛ I \rightleftharpoons цикло-КЛ III. Изомер цикло-КЛ I характеризуется *транс*-конфигурацией всех пептидных связей. В изомере цикло-КЛ II пептидная связь Pro³-Pro⁴ имеет *цис*-конфигурацию, а изомер цикло-КЛ III характеризуется *цис*-конфигурацией связи Arg²-Pro³. Проведено также отнесение сигналов протонов всех изомеров цикло-КЛ (табл. 1-3).

Вследствие большого числа сигналов, взаимное расположение которых в спектре ^1H -ЯМР меняется с изменением температуры, измерение температурных коэффициентов химических сдвигов сигналов амидных протонов является в данном случае сложной задачей. Для ее решения потребовалось уточнение отнесения сигналов протонов при каждом значении температуры с использованием COSY-спектров. С помощью фазоизбирательного COSY-спектра (рис. 8), как описано ранее [6], измерены также КССВ $^3J_{\text{H}\alpha\text{C}\beta\text{H}}$, величины которых приведены в табл. 1-3. Интерпретация сигналов ^1H -ЯМР всех трех конформеров цикло-КЛ проведена также в водном растворе. В COSY-спектрах были идентифицированы спиновые системы всех аминокислотных остатков. Затем постепенным титрованием раствора цикло-КЛ в H_2O диметилсульфоксидом и анализом изменений химических сдвигов сигналов выполнено отнесение спиновых систем к конкретным аминокислотным остаткам в аминокислотной последовательности (табл. 1-3). Из COSY-спектров цикло-КЛ в H_2O при разных температурах измерены температурные коэффициенты амидных протонов $\Delta\delta_{\text{NH}}/\Delta T$ (табл. 1-3). В дальнейшем, используя полученные

Параметры спектров ^1H -ЯМР цикло-КЛ II в $(\text{CD}_3)_2\text{SO}$ и H_2O (рН 3,95) при 303 К

Аминокислотный остаток	δ , м. д.								$\Delta \delta_{\text{NH}} / \Delta T \cdot 10^3$, м. д./К	$\gamma_{(\text{HNC})_2\text{SO}}$, Гц		
	NH		C^αH		C^βH		Другие протоны					
	$(\text{CD}_3)_2\text{SO}$	H_2O	$(\text{CD}_3)_2\text{SO}$	H_2O	$(\text{CD}_3)_2\text{SO}$	H_2O	$(\text{CD}_3)_2\text{SO}$	H_2O				
Lys ¹	<i>a</i>		3,87	3,82	1,73;	2,07;	C^6H 1,35; 1,35	C^8H 3,20; 3,20	5,8 ^b	6,4 ^b		
					1,73	2,07	C^8H 2,98; 2,98	$\text{N}^{\text{t}}\text{H}$ 7,94				
Arg ²	8,84	8,42	4,41	4,38	4,54;	1,62;	$\text{N}^{\text{t}}\text{H}$ 7,83 <i>b</i> , <i>z</i>	4,4	6,0	7,8		
					1,54	1,62						
Pro ³			4,40	4,42	2,01;	2,23;	C^7H 1,62; 1,62	2,6	2,7	5,8 5,9		
						1,74	1,89	C^8H 3,66; 3,41				
Pro ⁴			4,30	4,23	2,24;	2,15;	2,4	7,7	8,8			
					1,72	4,73						
Gly ⁵	8,26	8,29	3,78	3,96	3,06;	3,20;	3,93; 3,91; 3,73 3,68	4,9	5,8	7,8		
					3,53	3,81						
Phe ⁶	8,38	8,25	4,44	4,57	2,83	3,05	OH 6,01	2,4	7,7	8,8		
					3,06;	3,20;						
Ser ⁷	8,13	7,89	4,70	4,66	3,93;	3,91;	3,73 3,68	4,9	5,8	7,8		
					3,91;	3,73						
Pro ⁸			4,23	4,25	1,90;	2,08;	C^7H 1,63; 1,70	2,8	5,0	8,7		
						1,49	1,53	C^8H 3,71; 3,58				
Phe ⁹	7,88	7,78	4,47	4,64	2,97;	3,21;	2,83 2,94	3,8	5,6	8,8		
					2,83	2,94						
Arg ¹⁰	7,72	7,99	4,15	4,33	1,64;	1,82;	1,64 1,82					

^{a,b,c,g} См. табл. 1.

данные, предполагается охарактеризовать пространственные структуры каждого из конформеров цикло-КЛ в растворах $(\text{CD}_3)_2\text{SO}$ и H_2O .

Экспериментальная часть

Синтез цикло(1^o–10)калидина описан в работе [7]. Цикло-КЛ очищали от парамагнитных примесей с помощью методики [8].

Спектры ЯМР получены на спектрометре WM-360 Bruker (ФРГ) с рабочей частотой 360 МГц, оснащенным ЭВМ Aspect 2000. Обработку спектров проводили на автономной станции обработки данных, снабженной ЭВМ Aspect 1000. Спектры 0,005–0,12 М растворов цикло-КЛ в $(\text{CD}_3)_2\text{SO}$ и H_2O снимали в 5-мм ампулах в интервале температур 293–353 К. Температурные коэффициенты амидных протонов определяли из COSY-спектров при температурах 293, 303, 313 и 323 К.

COSY-спектры получены с помощью последовательности 90-градусовых импульсов [9]: $(90^\circ - t_1 - 90^\circ - t_2)_n$, где t_1 – период эволюции, t_2 – период наблюдения сигнала. Время t_1 изменялось в интервале 0,25–128 мс с шагом 0,25 мс, что соответствует ширине спектра в направлении F_1 2000 Гц. Эксперимент повторялся 64 раза при каждом значении t_1 . Фазы неселективных 90-градусовых импульсов и опорной частоты приемника менялись, как в работе [10]. Во всех экспериментах квадратурное детектирование применялось в направлениях F_2 и F_1 при ширине спектров 4000 Гц.

Для получения фазоизбирательного COSY-спектра 1024 эквидистантных значений t_1 менялись в пределах 0,003–128 мс с шагом 0,125 мс, а фазы неселективных 90-градусовых импульсов – как в работе [10].

NOESY-спектры получены с помощью последовательности неселективных 90-градусовых импульсов [11]: $(90^\circ - t_1 - 90^\circ - \tau_m - 90^\circ - t_2)_n$, где t_1 – период эволюции, во время которого компоненты намагниченности частотно метятся, τ_m – время смешивания компонент намагниченности, в течение которого кросс-релаксация ЯЭО или химический обмен приводят к некогерентному обмену намагниченностями между пространственно сближенными или обменивающимися протонами.

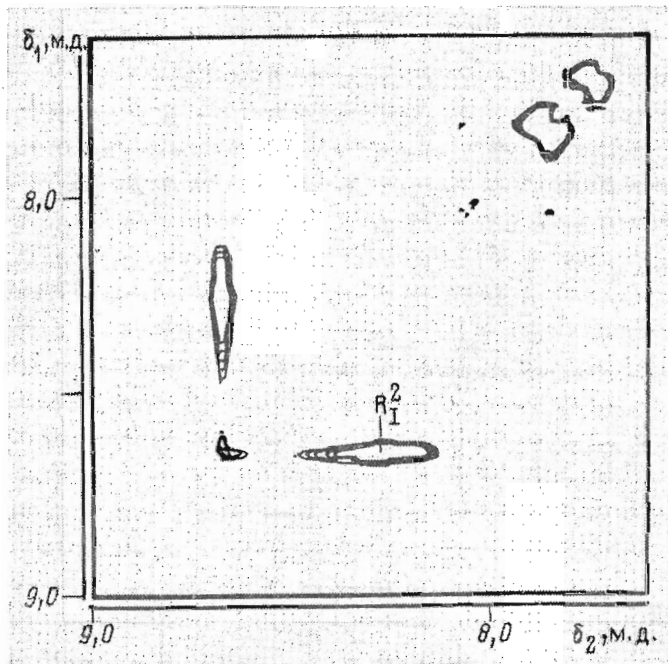


Рис. 6. Область фазоизбирательного NOESY-спектра δ_1 , δ_2 : 7,6–9,0 м.д., $\tau_m=0,3$ с, 353 К. Показан обменный кросс-пик между протонами NH Arg² изомеров цикло-КЛ I и цикло-КЛ III

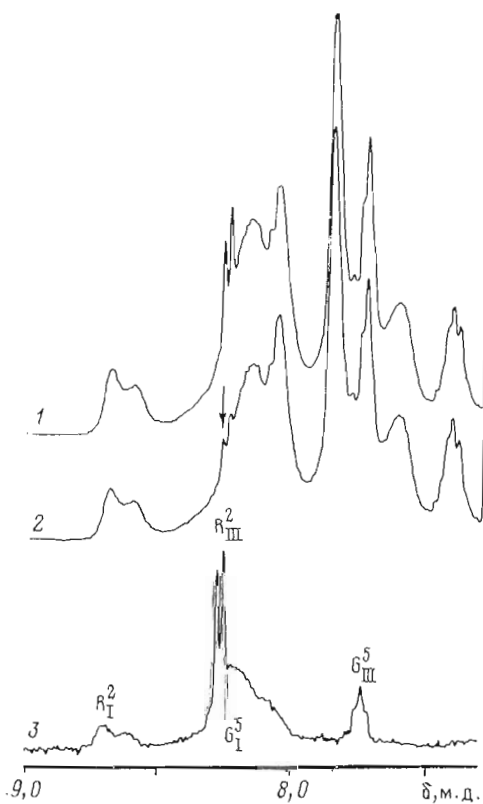


Рис. 7. 1 – область NH-протонов, спектр ^1H -ЯМР цикло-КЛ в $(\text{CD}_3)_2\text{SO}$ при 353 К; 2 – тот же спектр при насыщенных сигналах NH Arg² цикло-КЛ III и NH Gly⁵ цикло-КЛ I (насыщение указано стрелкой); 3 – разность спектров 1 и 2, виден перенос памагнитности между протонами NH Arg² цикло-КЛ III и NH Arg² цикло-КЛ I, NH Gly⁵ цикло-КЛ I и NH Gly⁵ цикло-КЛ III

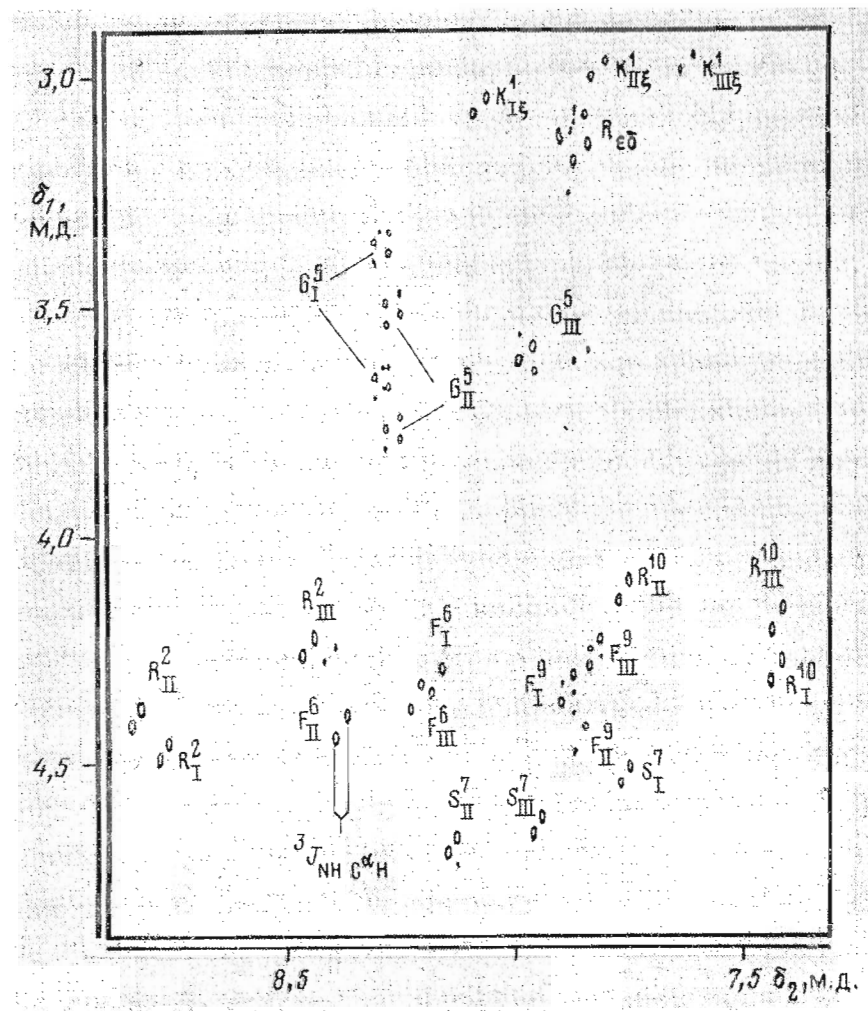


Рис. 8. Область фазоизбирательного COSY-спектра: δ_1 2,9–4,9 м. д., δ_2 7,3–8,9 м. д. Показаны характерные расщепления кросс-ников, соответствующие КССВ $^3J_{\text{NH}\text{C}^\alpha\text{H}}$

Все NOESY-спектры снимались в фазоизбирательном виде, для чего фазы 90-градусных импульсов менялись, как описано в работе [10]. Для подавления когерентного переноса намагниченности, обусловленного спин-спиновым взаимодействием, время τ_m менялось случайным образом в пределах 10%. Эксперименты повторялись для 512–800 эквидистантных значений t_1 , лежащих в диапазонах 0,003–100 мс. Эксперимент повторялся 144 раза при каждом значении t_1 .

В экспериментах COSY и NOESY перед началом очередной серии импульсов следовал временной интервал 1 и 1,6 с соответственно для достижения равновесного состояния ядерной намагниченности.

Матрица данных COSY-спектра дополнялась нулями до размерности 1024×2048 , что соответствует разрешению 3,9 Гц на точку. Для фазоизбирательного COSY-спектра данные дополняли нулями таким образом, чтобы после преобразования цифровое разрешение составляло 0,38 и 1,9 Гц на точку для направлений F_2 и F_1 соответственно.

Матрица данных фазоизбирательного NOESY-спектра дополнялась нулями до размерности 2048×2048 , что после преобразования Фурье соответствует разрешению 3,9 Гц на точку в обоих направлениях. Перед преобразованием Фурье данные умножались на колоколообразные функции \sin и \sin^2 в направлениях F_1 и F_2 . Преобразование Фурье всех 2D-спектров проводилось с помощью программы Bruker DI²NMR, версия 840301.4. Химические сдвиги сигналов в спектрах ^1H -ЯМР измерены относительно тетраметилсилиана в $(\text{CD}_3)_2\text{SO}$ и трет-бутанола в H_2O с точностью $\pm 0,01$ м. д. Точность измерения КССВ $\pm 0,5$ Гц, ошибка $\Delta\delta_{\text{НН}}/\Delta T$ 10%. В одномерном эксперименте по переносу насыщения (рис. 6б) величина поля γH_2 составляла 20 Гц, а время облучения 0,8 с.

ЛИТЕРАТУРА

1. Regoli D., Barabe J. Pharmacol. Rev., 1980, v. 32, № 1, p. 1–46.
2. Никифорович Г. В., Галактионов С. Г., Чипенс Г. И. В кн.: Конформации пептидных биорегуляторов. М.: Медицина, 1983, с. 70–84.
3. Chipens G. I., Mutulis F. K., Myshlyakova N. Y., Misina I. P., Vitolina R. O., Klusha V. J., Kataev B. S. Int. J. Peptide and Protein Res., 1985, v. 26, № 5, p. 460–468.
4. Wüthrich K., Billeter M., Braun W. J. Mol. Biol., 1984, v. 180, № 2, p. 715–740.
5. Bodenhausen G., Ernst R. R. J. Amer. Chem. Soc., 1982, № 5, p. 1304–1309.
6. Marion D., Wüthrich K. Biochem. and Biophys. Res. Commun., 1983, v. 113, № 3, p. 967–974.
7. Mutulis F. K., Chipens G. I., Lando D. I., Mutule I. E. Int. J. Peptide and Protein Res., 1984, v. 23, № 2, p. 235–241.
8. Саулитис Ю. Б., Лиепиньш Э. Э., Секаусис И. П., Шендерович М. Д., Мутулис Ф. К., Мутуле И. Э., Чипенс Г. И. Биоорганическая химия, 1985, т. 11, № 8, с. 1013–1025.
9. Wider G., Macura S., Kumar A., Ernst R. R., Wüthrich K. J. Magn. Reson., 1984, v. 56, № 1, p. 207–234.
10. Bodenhausen G., Kogler H., Ernst R. R. J. Magn. Reson., 1984, v. 58, № 2, p. 370–388.
11. Jeener J., Meier B. H., Bachmann P., Ernst R. R. J. Chem. Phys., 1979, v. 71, № 11, p. 4546–4553.

Поступила в редакцию

20.I.1986

После доработки

5.III.1986

INTERPRETATION OF ^1H -NMR SPECTRA OF CYCLIC ANALOGUE OF KALLIDIN IN SOLUTION

SAULITIS J. B., LIEPINS E. E., MUTULIS F. K., CHIPENS G. I.

Institute of Organic Synthesis, Academy of Sciences
of the Latvian SSR, Riga

^1H -NMR resonances of [cyclo(10–1 α)]kallidin (cyclo-KL) in $(\text{CD}_3)_2\text{SO}$ and H_2O have been assigned by combined analysis of two-dimensional phase-sensitive COSY and NOESY spectra. The presence of three slowly interchangeable conformers cyclo-KL I, cyclo-KL II, and cyclo-KL III, has been established, their population in $(\text{CD}_3)_2\text{SO}$ being 25, 35 and 40%, respectively. Cyclo-KL I conformer possesses *trans*-configuration of all peptide bonds, but in the cyclo-KL II and cyclo-KL III conformers the Pro³-Pro⁴ and Arg²-Pro³ peptide bonds, respectively, have *cis*-configuration. In solution, the following exchange occurs between the conformers: cyclo-KL II \rightleftharpoons cyclo-KL I \rightleftharpoons cyclo-KL III. The assignment of ^1H -NMR signals of all the three cyclo-KL conformers has been carried out in H_2O by gradual titration with $(\text{CO}_3)_2\text{SO}$. The conformer populations in H_2O are 45, 25 and 30%, respectively.